

報文

I型鋼桁橋の腐蝕算定例に就て

准員 中 村 清*

要旨

簡単なる撓度測定方法により、測定した撓度値を検討して、該方法の精度を先づ調査し、其の後某棧橋改築工事實施前に於て、測定した撓度曲線を計算処理して腐蝕度を求め、測定桁撤去後該桁断面を取り、實際と比較検討してみた。

1. 緒言

Gray著 "Reinforced Concrete Water Towers Bunkers Silos Ganties" p. 202 に依ると、重工業工場に於る鋼構造物の腐蝕が、如何に甚しいかを示している。當所に於ても、特にコーカス関係橋梁が、土木構造物中腐蝕甚しい。殊に戦前より諸種の事情で、維持修理の行届かななかつか所に加え、通過車輛の積載物の種類、及び製造目的等が橋梁に對し、特有の腐蝕促進條件を與へ、腐蝕度の進行特に激しく、製造後20年に於て既に、架設替えを必要とするものもある。從つて所内各橋梁の腐蝕度を、測定する必要が生じて來た。腐蝕度を測定するには、普通の方法として、撓度測定による方法を誰しも考へるのであるが、本文に於ても此の點に立脚した。

僕々某「コーカス」工場洗炭棧橋改築に當り、測定した撓度値を處理した結果と、桁撤去後の断面との比較を示し、處理方法と測定方法の一案を併せ示した。最後に該断面の硫黃寫真により、一つの考察を加えた。

尙断つておく事は、本文に於ては、局部腐蝕を論じてゐるのではなく、いわば桁間にわたり、一様なる平均腐蝕度を求めてゐる事である。

2. 撥度測定方法

2種の方法に就き比較実験を行つた所、略全く同じ結果を得たので、製鐵所の現状に鑑み、適應範囲が廣い、次の方法を探ることにした。即ち主桁突線に取付けたハンガーより、重錘を附した2井鏡線を吊下げ

暫く放置した後、三脚上に装置したダイアルゲージの接觸針に重錘の底面を接觸せしめる事により撓度を求める。寫真は測定状況である。

写真 戸畠東門貯炭棧橋撓度測定状況



| | |
|------|---|
| 試験位置 | 戸畠東門貯炭棧橋 No. 2 |
| 橋梁型式 | I型鋼單桁橋 |
| 跨 間 | 5.06 m |
| 荷 重 | 11.8 t 大運搬車及び 19.6 t 六輪連結タンク車 |
| 月 日 | 昭和 21 年 11 月 9 日 |
| 天 候 | 晴微風 |
| | 11.8 t 大運搬車を圖-1 の如く載せ、測定した値は表-1 の如く、19.6 t 六輪連結タンク車(秤量結果 26 t)にて測定すれば、圖-2 a の様な結果を得た。 |

* 八幡製鐵所 西部保新掛長

図-1.

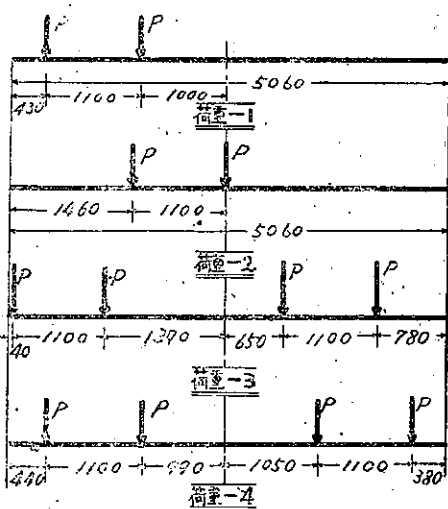
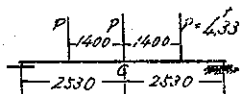


表-1. 11.8t 大運鐵車による測定値

| 測定回数 | 荷重様式 | | | |
|------|--------------|--------------|--------------|--------------|
| | 1 1/100mm | 2 1/100mm | 3 1/100mm | 4 1/100mm |
| 1 | 38 | 61 | 66 | 69 |
| 2 | 32 | 56 | 64 | 64 |
| 3 | 32 | 55 | 65 | 65 |
| 4 | 37 | 60 | 66 | 66 |
| 平均 | 34.8 | 58 | 65.3 | 66 |
| 摘要 | 桁中央點を測る | | | |

図-2 a. 19.6t 六輪連結タンク車による測定¹⁾

今弾性係数を E とし、($E=2.1 \times 10^6 \text{ kg/cm}^2$ とする)
桁中央點の撓度を δ_c 、輪荷重を P 、桁の慣性モーメントを I 、とすれば

$$\text{表-1. 荷重様式 } 2 \text{ に於て, } \delta_c = 4.77 \frac{P}{EI}$$

然るに、 $P=1475 \text{ kg}$ $\delta_c=0.058 \text{ cm}$

$$\therefore I=58000 \text{ cm}^4$$

$$\text{図-2 a. に於て, } \delta_c = 6.06 \frac{P}{EI}$$

然るに、 $P=4830 \text{ kg}$ $\delta_c=0.214 \text{ cm}$

$$\therefore I=58400 \text{ cm}^4$$

即ち本橋梁の剛度は、相異なる荷重を載荷せるも、殆

んど等しい値を與へ、實驗結果の正しい事を示してゐる。

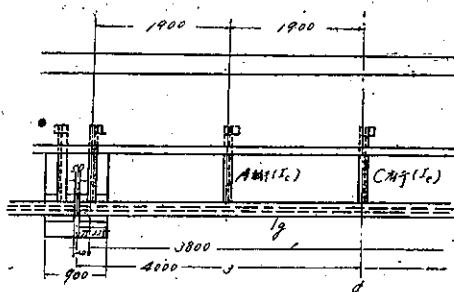
此處に注意すべきは、本橋梁建設時の I は、 48000 cm^4 にして、該桁は外観よりしても、相當の腐蝕進行してゐるに拘わらず、測定結果による慣性モーメントは、 58000 cm^4 にして、實際と符合しない。この事は、軌條支承沈下による荷重分布、横構の影響、及び主桁支承構造に依る影響等を意味するものである。

軌條支承沈下による荷重分布に就ては、既に公式説明も終つてゐるが、以下に於て必要としないから割愛する事とし、實際例に於ては後二者の影響を考える事にする。

3. 實際例に就て

図-3 に示す機橋は、洗炭工場用にして、大正 12 年 10 月築造したものである。主として石炭貯炭の際、

図-3. 平面圖



石炭の桁に附着する事によつて、腐蝕を促進せしめた。腐蝕の甚しい事と、設計の不良に起因して、昭和 21 年 12 月改築工事が實施された。撓度試験に使用した荷重は、13.18t 大運鐵車、測定月日昭和 21 年 12 月 6 日、天候は晴天微風、載荷状態並に測定結果を示すと、図-2 b(主桁測定結果)及び図-4(横構 C 桁測定結果)の如くである。

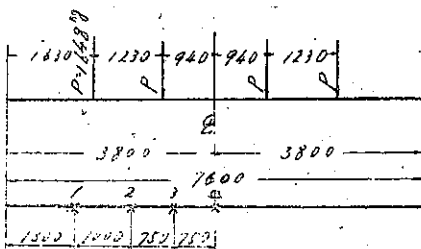
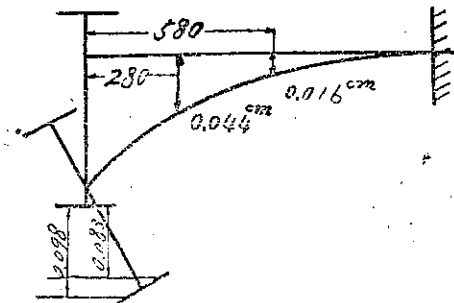
図-2 b 13.18t 大運鐵車による測定²⁾

図-4. C桁 橋 度 測 定 値



(1) 橋脚の影響に就て

図-5.

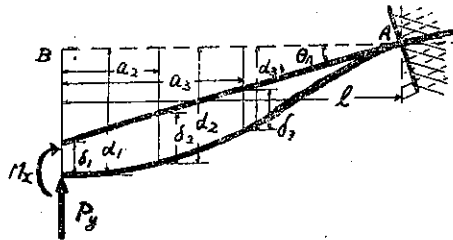


図-5 の如き不完全固定桁の一端 B 点, d_1 及び下したものとし, B 点の支承を取除き, 図示反力を考へる。 M_x は主桁に對し振りモーメントを與へるが, 圖-4 測定結果よりみるも, 突縁水平移動は微小であつて, 従つて水平軸に對する主桁慣性モーメントは, その變化微小にして無視する事が出来る。

 E : 桁の弾性係数 G : 桁の剪断弾性係数 α : E/G

1) 測定結果次の如し

測定 3 回の平均値は

$$\delta_e = 0.215 \text{ cm}$$

2) 測定結果次の如し

初回測定 3 回の平均値は

| 測點 | 1 | 2 | 3 | 4 |
|----|---------|---------|---------|---------|
| 平均 | 0.36 mm | 0.80 mm | 0.84 mm | 0.98 mm |

次回測定 2 回の平均値は

| 測點 | 1 | 2 | 3 | 4 |
|----|---------|---------|---------|---------|
| 平均 | 0.33 mm | 0.70 mm | 0.81 mm | 0.83 mm |

兩回測定の平均値は

| 測點 | 1 | 2 | 3 | 4 |
|----|---------|---------|---------|---------|
| 平均 | 0.85 mm | 0.75 mm | 0.83 mm | 0.91 mm |

 F : 断面積

$$x : \int_{y_1}^{y_2} \frac{S_y^2 F}{b I^2} dy$$

 S_y : 中立軸に關する微小面積一次モーメント b : 桁幅 y_1, y_2 : 線維距離

とすれば

$$\left. \begin{aligned} \delta_1 &= \frac{1}{EI} \int_0^l (p_y x - M_x) x dx + \frac{x}{GF} \int_0^l p_y dx \\ \delta_2 &= \frac{1}{EI} \int_{a_2}^l (p_y x - M_x) (x - a_2) dx + \frac{x}{GF} \int_{a_2}^l p_y dx \\ \delta_3 &= \frac{1}{EI} \int_{a_3}^l (p_y x - M_x) (x - a_3) dx + \frac{x}{GF} \int_{a_3}^l p_y dx \end{aligned} \right\} \quad (a)$$

$$\left. \begin{aligned} d_1 &= \delta_1 + l \theta_A \\ d_2 &= \delta_2 + (l - a_2) \theta_A \\ d_3 &= \delta_3 + (l - a_3) \theta_A \end{aligned} \right\} \quad (b)$$

(a) 式を變形すれば,

$$\left. \begin{aligned} \delta_1 &= \frac{1}{EI} \left\{ p_y \left(\frac{1}{3} l^3 \right) - M_x \left(\frac{1}{2} l^2 \right) + \frac{\alpha x l}{F} p_y l \right\} \\ \delta_2 &= \frac{1}{EI} \left\{ p_y \left(\frac{1}{3} l^3 - \frac{1}{2} a_2 l^2 + \frac{1}{6} a_2^3 \right) - M_x \left(\frac{1}{2} l^2 \right. \right. \\ &\quad \left. \left. - a_2 l + \frac{1}{2} a_2^2 \right) + \frac{\alpha x l}{F} p_y (l - a_2) \right\} \\ \delta_3 &= \frac{1}{EI} \left\{ p_y \left(\frac{1}{3} l^3 - \frac{1}{2} a_3 l^2 + \frac{1}{6} a_3^3 \right) - M_x \left(\frac{1}{2} l^2 \right. \right. \\ &\quad \left. \left. - a_3 l + \frac{1}{2} a_3^2 \right) + \frac{\alpha x l}{F} p_y (l - a_3) \right\} \end{aligned} \right\} \quad (c)$$

部材の I , x , F を測定並びに計算し, 測定した d_1 , d_2 及び d_3 を以つて, 容易に (b)(c) 式より, p_y が求められる。 p_y の影響はあまり大したものでないから, F の測定はそら正確を期する必要がないと考える。

圖-4 及び測定と計算結果より,

$$\alpha = 2.5, \chi = 2.28, I \sim 800 \text{ cm}^4, E = 2.1 \times 10^5 \text{ kg/cm}^2$$

$$\delta_1 = \frac{1}{EI} (503200 P_{yc} - 635000 M_{xc})$$

$$\delta_2 = \frac{1}{EI} (310150 P_{yc} - 419200 M_{xc})$$

$$\delta_3 = \frac{1}{EI} (153210 P_{yc} - 77500 M_{xc})$$

(b) 式に代入し

$$d_1 = 0.091 = (503200 P_{yc} - 635000 M_{xc}) \frac{1}{EI}$$

+112.8θ_A

$$d_2 = 0.044 = (319150P_{yc} - 4192(0M_{xc}) \frac{1}{EI})$$

+84.8θ_A

$$d_3 = 0.016 = (153210P_{yc} - 77500M_{xc}) \frac{1}{EI}$$

+54.8θ_A

θ_A 及び M_{xc} を消去して, P_{yc} = 0.337 I = 270kg 同様に A 桁より 180kg を得る。(簡便上 d の比により求めた)。

(2) 支承構造に依る影響

本橋梁の如く鉄形支承の場合、明らかに支承モーメントを生ず。従つて計算上徑間を如何にとるかが問題となる。新しい橋梁であるならば、鉄形支承内線間を取るのが、妥當の様であるが、長年月の間にわ支承底に於て、壓縮の現象を認められる者へられる。(實例二あり)

何れにしろ測定より得た撓度曲線が、反曲點を有する時はアンカーボルトと支承内線間に、支端を取る可きである。

今支承任意點(アンカーボルトと支承内線間)を原點として、桁任意點迄の距離を x, その點の撓度を y, とし支承モーメントを生ずる事を考慮して、

y = ax³ + bx² + cx として、最小二乗法に依つて a, b, c を求めたとすれば、桁中心に於て、荷重左右對稱にして、桁の撓度曲線が左右對稱と認められる限りは

$$\frac{dy}{dx} = 3ax^2 + 2bx + c = 0$$

を満足する x 點が、大體に於て桁中央點と一致する時に、その原點を以つて支端とするのが妥當である。

然し實際に於ては、測定上の誤差や、又兩端支承状況、桁の腐蝕状況等により、仲々一致しないから、最も近接した値を以つて支端とする。

a, b, c は次式によつて求められる。

$$\frac{\partial \Sigma \Delta^2}{\partial a} = a[x^6] + b[x^5] + c[x^4] - [y_0 x^3] = 0$$

$$\frac{\partial \Sigma \Delta^2}{\partial b} = a[x^5] + b[x^4] + c[x^3] - [y_0 x^2] = 0$$

$$\frac{\partial \Sigma \Delta^2}{\partial c} = a[x^4] + b[x^3] + c[x^2] - [y_0] = 0$$

(d)

圖-2 b の測定値を (d) 式によつて處理すれば、表-2 となる。表-2 よりみるも、徑間を 7150cm に取るのがよい様である。本件に關しては更に後述の如く、撤去後の結果より考へてみても妥當である。

(3) 撓度を求むる公式と腐蝕率算定

M₀, Q₀: 撓度を求むる點 α に、P=1 なる荷重を作用せしめた時、任意點のモーメント及び剪力

M_α, Q_α: 同上任意點の外力に依るモーメントと剪力

F_w: 測定時の腹板斷面積

δ_α: α 點の撓度

とすれば、

$$\delta_\alpha = \int_0^l \frac{M_0 M_\alpha}{EI} dx + \int_0^l x \frac{Q_0 Q_\alpha}{GF} dx \dots (e)$$

(e) 式に於て、l, F 是夫々徑間及び斷面積とし、普通第二項は影響微少とするが、然し對稱荷重の支承モーメントが作用する時には、之を無視する事が出來ない。

(e) 式を近似的に、

$$\delta_\alpha \approx \int_0^l \frac{M_0 M_\alpha}{EI} dx + \int_0^l \frac{Q_0 Q_\alpha}{GF} dx \dots (f)$$

(f) 式を解くと、A 及び B を常数として、

$$\delta_\alpha = \frac{A}{I} + \frac{B}{F_w} \dots (g)$$

(g) 式は I と F_wとの 2 未知數を含み、解く事能出来ない。腐蝕が初期の間には、材質的に斷面に於て、平等に腐蝕していくと考えてよい。即ちリム部分を侵す割合は同一と考えられるが、一度コアの部分に侵入

表-2.

| 徑間 | 最少二乗法により 求めた撓度曲線式 | 原點よりも $\frac{dy}{dx} = 0$ なる點迄の距離 | 桁中心と $\frac{dy}{dx} = 0$ なる點の差距離 | 原點より反曲 點迄の距離 |
|--------------------|---------------------------------------|--------------------------------------|-------------------------------------|-----------------|
| 支承鉄形内線間隔 715cm | $-0.02075x^3 + 0.05857x^2 + 0.30746x$ | 3.36cm | 21.5cm | 94cm |
| 同 上 730cm | $-0.023412x^3 + 0.08178x^2 + 0.2597x$ | 3.41cm | 24.0cm | 117cm |
| アンカーボルト間隔 761cm | $-0.02921x^3 + 0.12989x^2 + 0.16505x$ | 3.48cm | 32.0cm | 148cm |

すれば、最早平等と考えられなくなる。

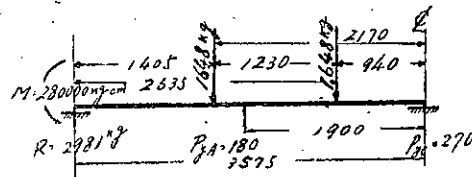
初期の場合は、 F_w の減少は微小である事と、(f)式第2項は第1項に比し 10% 内外である事より、新設時の F_w を使用しても誤差は微小である。然し腐蝕度の激しい桁に於ては、 F_w を推定しなければ(g)式が解けない。推定の資料として、桁端に於て、マイクロメーター利用による腹板の平均厚測定が考えられる。

(2) より幅間を 715 cm に取り、支承モーメントを M として、

$$M = 2981 \text{ kg} \times 9.81 \text{ cm} = 28600 \text{ kgcm}$$

$\alpha = \frac{E}{G} = 2.5$ として、桁中央點の挠度を δ_c とすれば、図-6 及び (f) 式より、

図-6.



$$\delta_c = \frac{7100}{I} + \frac{0.702}{F_w} = 0.091$$

初期腐蝕とすれば、 $F_w = 1.5 \times 53 = 80 \text{ cm}^2$ (建設時のもの)

$$I = 85500 \text{ cm}^4$$

腹板測定の結果 80% 腐蝕とすれば、

$$I = 90200 \text{ cm}^4$$

建設時の慣性モーメント (は、 110000 cm^4 にして、 $I = 85500 \text{ cm}^4$ と比較すれば、相當腐蝕度が進行し、初期の腐蝕とは考えられない。腹板 30% 腐蝕として腹板の受け持つ慣性モーメントを I_w とすれば、

$$I_w = I/12 \times 53^2 \times 0.7 \times 15 \times 53 = 13100 \text{ cm}^4$$

故に新舊突縫断面積比 $= (90200 - 13100) / [110000 - (13100 \div 0.7)] = 0.845$ 依つて表-3を得る。

表-3.

| 建設時の断面積 | 190 cm ² | 内腹板 突縫 | 80 cm ² |
|------------------------|---------------------|-----------|--------------------|
| 腐蝕後の現在断面積 (計算結果による) | 149 cm ² | 内腹板 突縫 | 56 cm ² |
| 比 | 78.5% | 内腹板 突縫 | 84.5% |

尚参考の爲各幅間に對する慣性モーメントを求める上、表-4を得る。此の結果によると、此の場合幅間は 715 cm、即ち支承内縫間を取るのが妥當であつた。

表-4.

| 幅 間 | 初期腐蝕とする時 $F_w 30\%$ 腐蝕とする時の慣性モーメント | 初期腐蝕とする時 $F_w 30\%$ 腐蝕とする時の慣性モーメント |
|--------|------------------------------------|------------------------------------|
| 715 mm | 85500 cm ⁴ | 90200 cm ⁴ |
| 730 mm | 70700 cm ⁴ | 74500 cm ⁴ |
| 760 mm | 64500 cm ⁴ | 57300 cm ⁴ |

4. 撤去後の断面

橋脚測定桁を撤去し、測定断面を探り、新設時と撤去後の断面を比較したら重量は 1748 kg/cm が 1.18 に、断面積は 190 cm^2 が 152 に、慣性モーメントは 110500 cm^4 が 84000 になつて、減少率は夫々 79.8 、 80.0 、 76.2% であつた。該断面に於て、腹板部は略30%の腐蝕をしているが、全體としては 20% 位のものであつて、計算結果は大體に於て正しい。即ち腹板部に於ては大なる腐蝕進行をしているが、突縫部は小さい。

今該断面の硫黄寫真を撮つてみると、腹板部分は殆んどリムが消滅してしまつて、不純物の多いコア部のみとなつてゐる。突縫にはリムが残存し腐蝕の進行を阻害している。これより判断するに、腹板のリム消滅後の腐蝕は、突縫より進行早く、從つて腹板断面の腐蝕による減少は、當然突縫部より大きくなる。この現象は常所内に於て、剝離處の橋梁に見受けられる。甚しい例は腹板部をケレンする場合にも、小孔を生ずるとゆう程度のものもある。

以上より注意を要する事は、(f) 式に於て I を不注意に推定する時は、大なる誤りを生ずる事である。

尚重要な關係のある弹性係数の問題であるが、腹板より採取せる試験片を以つて、弹性係数を測定したが $208 \times 10^9 \text{ kg/cm}^2$ であつたし、當所技術研究所調査によると、コア部もリム部も E 値には、殆んど變りない事を、念の爲附記しておく。

5. 結 言

緒言に述べた如く、所内各橋梁の調査完了と、補強若しくは改築計画中の橋梁にして、工事終了後の断面採取による計算との对照等の結果を得て、一括完全なるものとして、後日報告の予えであるが、相當の日數を要する事と、筆者職責上改良研究すべき件多く、爲に寧日なき事に依り、取敢えず發表し、先輩諸賢の御批判叱正お受けるものである。

前記の如くして、測定した値を處理した結果、ワデル氏の言つに如く、腐蝕の結果橋の各部に作用する力が、建設當時の 1 倍半の強さにも昇つて来た時、曲げ

総力に就て云えば、慣性モーメントが建設時の約30%内外減少した時、或は補強に要する費用が、架設換え

の費用より安價でない時、改築する様に設計計畫を立てている事を附言して置く。(昭 22. 4. 25 受付)

等強梁及び等強柱に就いて

正員 倉 田 宗 一*

要旨 所謂等強梁とは梁の各断面に於ける最大総維應力を一定に保つ如き變断面の梁であつて梁材料を最も有効に働く目的を以て古くから取扱はれてゐるもので $\sigma = \frac{M}{I} y$ 一定なる周知の關係で簡単に求められた問題であるが今少しく異つた觀點から包括的に關係問題を論じた。

(1) 基礎理論

梁の歪エネルギー: W は剪断力の影響を無視すれば

$$W = \frac{1}{2} \int_0^l \frac{M^2}{EI} dx$$

但し M : 曲げモーメント

E : 材料の彈性係数(ヤング率)

I : 断面の慣性モーメント

で表はされる梁の断面積を A とすれば梁の體積 V は

$$V = \int_0^l A dx$$

である從て V が一定で W を最小ならしむる梁形を考へるとすれば求むる梁形は

$$\frac{\partial}{\partial y} \left(\frac{M^2}{EI} \right) + \lambda \frac{\partial A}{\partial y} = 0 \quad (1)$$

で與へられる。但し y は断面を表す或る寸法とす。外力が單一集中荷重 P とすれば平衡の位置に於て

$$\frac{1}{2} P \eta = W \quad \text{但し } \eta: \text{荷重位置の撓み}$$

であるから

$$\eta = \frac{1}{P} \int_0^l \frac{M^2}{EI} dx$$

となり (1)式は荷重位置の最小撓みを與へる梁形を表はす事となる。又梁上任意點の撓みを ζ とすれば

$$\zeta = \int_0^l \frac{MM'}{EI} dx$$

但し M' は考へる點に働く荷重(荷重無き時は假想荷重)を X とすれば $\frac{\partial M}{\partial X}$ を表はすものとす。

從て ζ を最小ならしむる梁形を考へるとすれば

$$\frac{\partial}{\partial y} \left(\frac{MM'}{EI} \right) + \lambda \frac{\partial A}{\partial y} = 0 \quad (2)$$

で與へられる單一集中荷重の場合荷重點の撓みを問題とすれば(2)式と(1)式とは明に一致する。

其他梁の撓曲線の曲率を $\frac{1}{P}$ とすれば梁全體の曲率が

最小自乘法の意味に於て最小となる梁形として

$$\int_0^l \left(\frac{1}{P} \right)^2 dx = \int_0^l \left(\frac{M}{EI} \right)^2 dx = \min.$$

なる條件を考へる事も出来るであらう。

(2) 等 強 梁

(1) 圓形断面の單純梁

断面の半径: r , 梁軸を x 軸に採り, 尚, 断面積: A

断面の慣性モーメント: I は夫々

$$A = \pi r^2$$

$$I = \frac{1}{4} \pi r^4$$

此等の値を前記 (1)式に代入すれば y の代りに r と置いて

$$\frac{M^2}{E} - \frac{\sigma}{\sigma r} \left(\frac{4}{\pi r^4} \right) + \lambda \frac{\sigma \pi r^4}{\sigma r} = 0$$

$$\text{此より } \frac{8}{\lambda \pi^2 E} M^2 = r^6 \quad (3)$$

根拠する梁の総維應力は

$$\sigma_{max} = \frac{M}{I} r = \frac{4M}{\pi r^3} r = \sqrt{2\lambda E}$$

即 x に無関係な常数となり(3)式の表はす梁形が等強梁に他ならない事が分る。

a) 單一集中荷重を受ける場合 図-1 に示す如き荷重状態に於て曲げモーメントは

* 北海道大學助教授

1) Beam of uniform strength